

## Fahrzeugregelung: Übung (Reifenmodelle)

M.Sc. Thang Nguyen

Prof. Dr.-Ing. Steffen Müller | Fachgebiet Kraftfahrzeuge | Fakultät Verkehrs- und Maschinensystem

- Stark nichtlinearer Reifen-Fahrbahnkontakt
- Mathematische Modelle des Fahrzeugverhaltens benötigen für eine reale Abbildung bestmögliche Reifennachbildungen
- Der Kontakt Straße-Fahrzeug ist, abgesehen von aerodynamischen Maßnahmen, die einzige Möglichkeit, die Bewegung des Fahrzeugs aktiv zu beeinflussen
- Moderne Regelalgorithmen nutzen Reifeninformationen zur Verbesserung der Regelgüte



## **Reifenmodelle zur Berechnung der Kraftübertragung zwischen Reifen und Fahrbahn**

- Experimentelle Grundlage
- Physikalische Grundlage
- FE-Modelle

# Lineares Reifenmodell

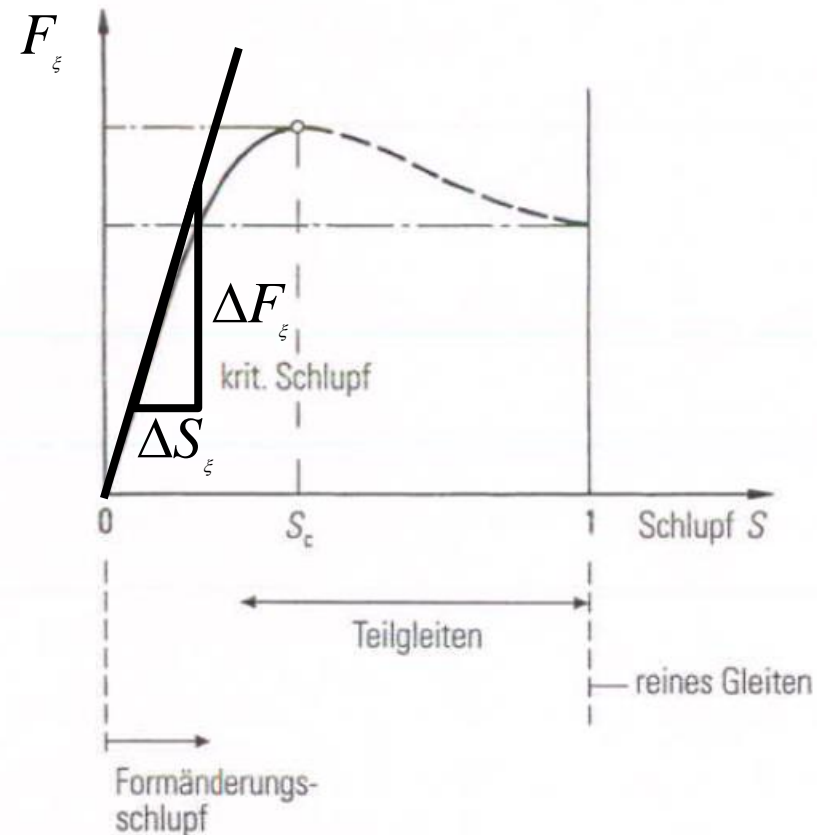
- Lineare Approximation der Reifeneigenschaften:

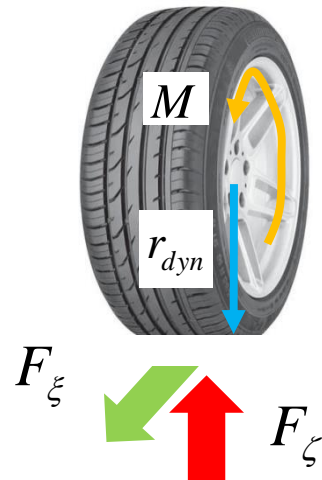
$$C_{\xi} = \frac{\Delta F_{\xi}}{\Delta S_{\xi}}$$

ergibt Längs- oder Querkraft:

$$F_{\xi^{\wedge}, \eta} = C_{\xi, \eta} \cdot S_{\xi, \eta}$$

- Einsatzmöglichkeiten: lineares Einspurmodell
- Nachteil: Modell im Grenzbereich nicht anwendbar

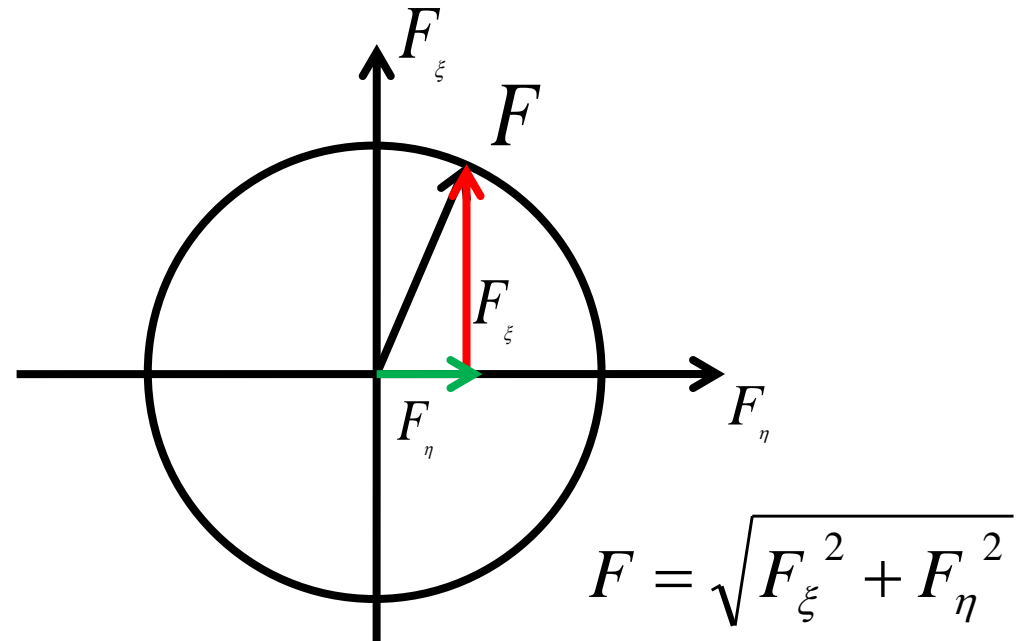




Maximal übertragbare Reifenkraft:

$$F_{\xi, \eta} = \mu_H \cdot N_{\zeta}$$

Aufteilung auf Längs- und Seitenkraft:



# Bürstenmodell (Brush Tire Model)

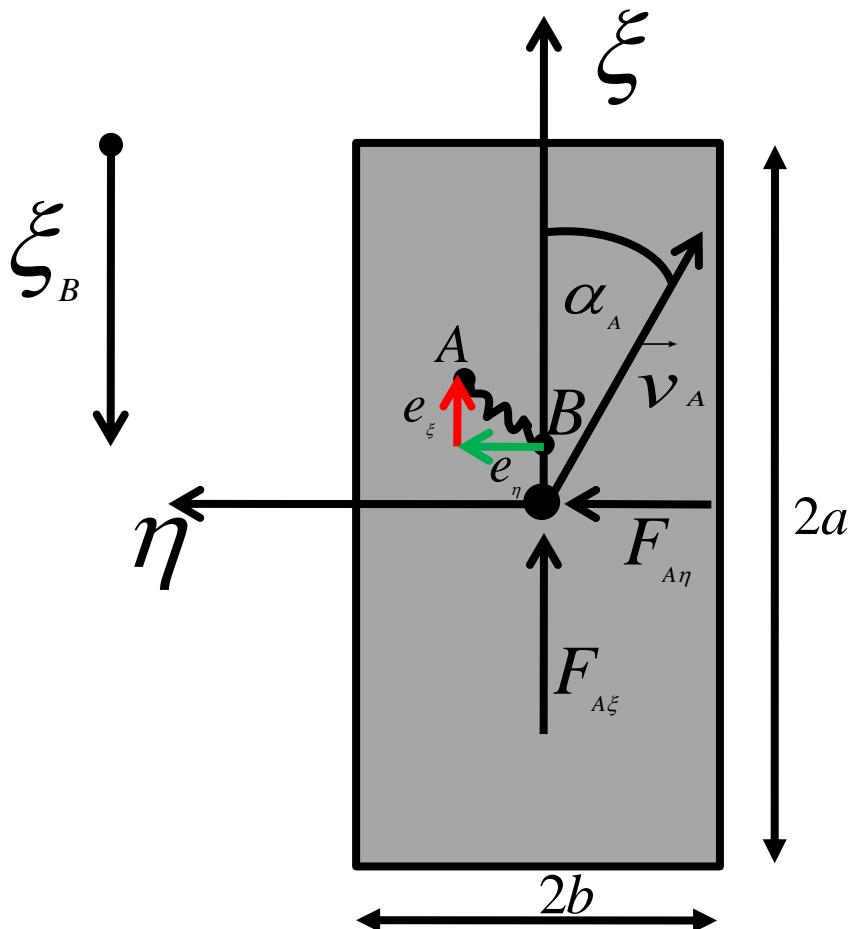
- Analytisch physikalisches Reifenmodell
- Isotropes Modell mit Coulombscher Reibung zwischen Fahrweg und Reifen
- Idealisierung des Reifens im Kontaktgebiet (Latsch)
- Reifen wird durch in Längs- und Querrichtung in Reihe befindlicher, elastischer Zylinder abgebildet
- Rolll der Reifen kraftfrei, so wird angenommen, dass es keine Verformung der Elemente gibt
- Bei Längs- und Querkraft werden die Zylinder deformiert,
  - ➔ proportional zur Verformung entsteht eine Schubspannung
- Verformung wird dargestellt durch horizontalen Abstand zwischen Bürstenanbindung B am Reifen und Berührungspunkt A

Aus den **Integralen der Tangentialspannungen** über die Kontaktfläche folgen die **Kraftschluss-Schlupf Beziehungen**



# Bürstenmodell (Brush Tire Model)

Kontaktfläche (Latsch):



Deformation in Reifenlängsrichtung:

$$e_{\xi} = (r \cdot \dot{\phi} - v \cdot \cos \alpha) \cdot \Delta t$$

Mit  $v$  und  $\dot{\phi}$  konstant im Zeitintervall  $\Delta t$  sind.

Deformation in Reifenquerrichtung:

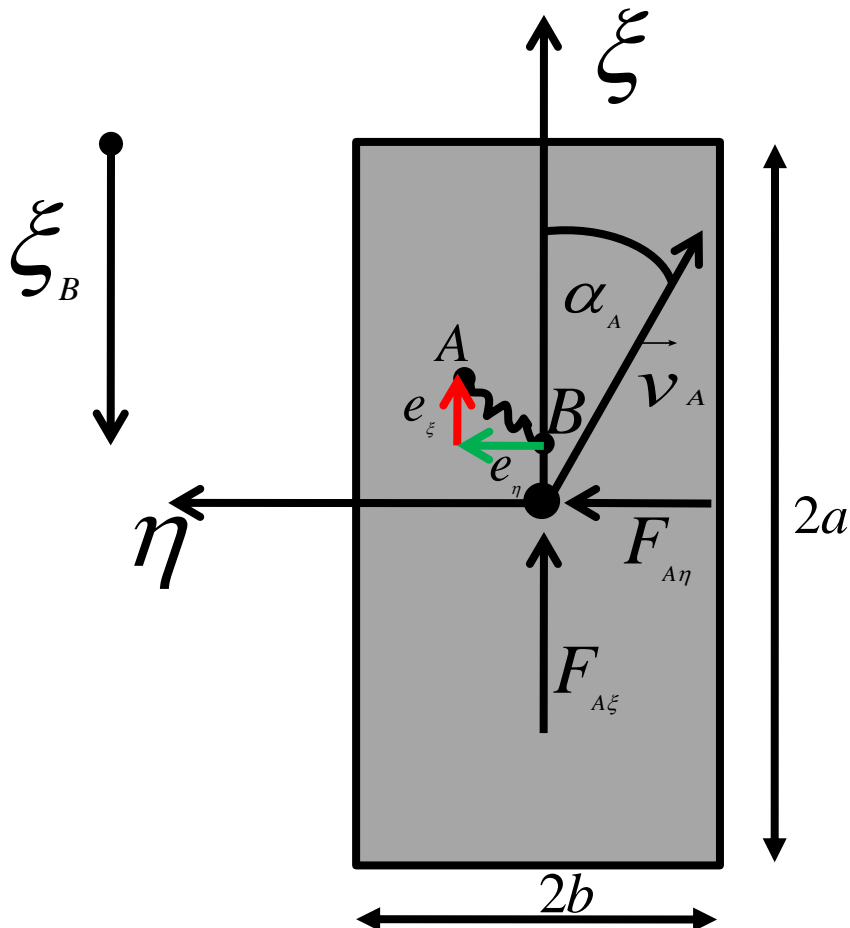
$$e_{\eta} = v \cdot \sin \alpha \cdot \Delta t$$

$\xi_B$  beschreibt die Längsposition des Anschlusspunktes B auf dem Reifengürtel:

$$\xi_B = r \cdot \dot{\phi} \cdot \Delta t$$

# Bürstenmodell (Brush Tire Model)

Kontaktfläche (Latsch):



Umformen der letzten Gleichung zu

$$\Delta t = \frac{\xi_B}{r \cdot \dot{\phi}}$$

Einsetzen ergibt:

$$e_\xi = -s_\xi \xi_B$$

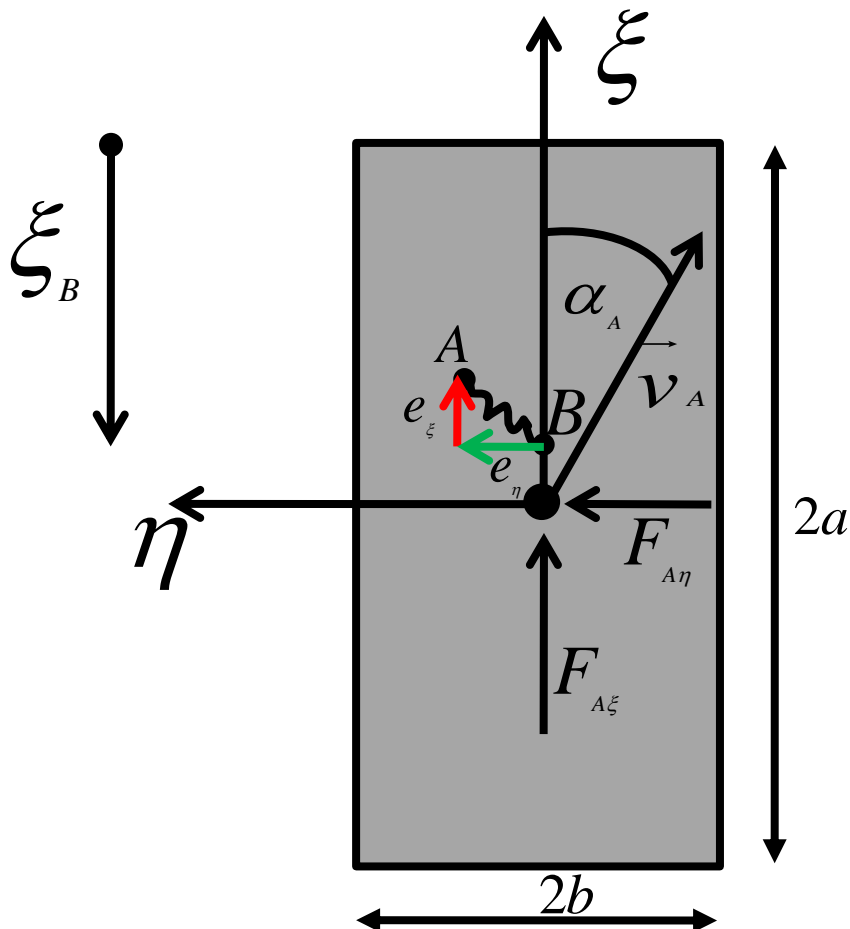
$$e_\eta = -s_\eta \xi_B$$

mit  $s_i$  wie in der VL deklariert.



# Bürstenmodell (Brush Tire Model)

Kontaktfläche (Latsch):



**Betrachte** nun **Haften** aller Bürsten:  
Mit der äquivalenten Tangential-  
Steifigkeit  $c_B$  in  $[\text{N/m}^3]$  des elastischen  
Zylinders folgt:

$$\tau_\xi = -c_B s_\xi \xi_B$$

$$\tau_\eta = -c_B s_\eta \xi_B$$

Mit einer rechteckigen Kontaktfläche  
ergibt sich die Tangentialkraft zu:

$$F_\xi = -2bc_B \int_0^{2a} s_\xi \xi_B d\xi_B$$

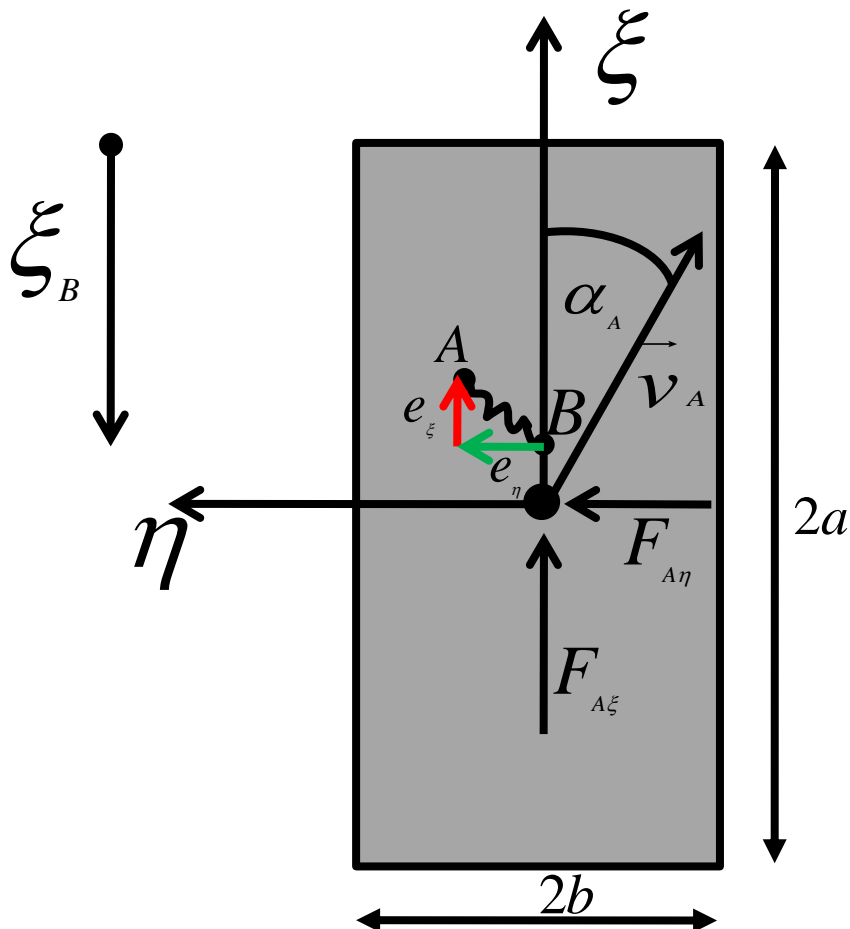
$$= -4ba^2 c_B s_\xi$$

$$F_\eta = -2bc_B \int_0^{2a} s_\eta \xi_B d\xi_B$$

$$= -4ba^2 c_B s_\eta$$

# Bürstenmodell (Brush Tire Model)

Kontaktfläche (Latsch):



Da die Tangentialspannungsverteilung nicht symmetrisch zur Reifenquerachse ist, erhalten wir ein sogenanntes Bohrmoment

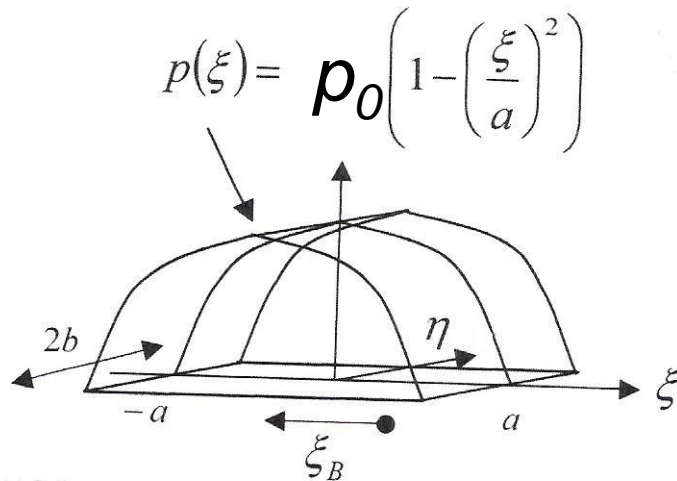
$$M_{\xi} = -2bc_B \int_0^{2a} s_{\eta} \underbrace{(a - \xi_B)}_{\text{Hebelarm}} \xi_B d\xi_B$$

$$= \frac{a}{3} (4ba^2 c_B) s_{\eta}$$

*Als nächstes betrachten wir den Fall, dass Gleiten auftritt, wobei der Normalspannungsverlauf parabolisch in Reifenlängs- und konstant in Reifenquerrichtung verläuft.*

# Bürstenmodell (Brush Tire Model)

Normalkraftverteilung:



Dabei berechnet sich  $p_0$  zu:

$$N_\xi = 2b \int_{-a}^a p_0 \left[1 - \left(\frac{\xi}{a}\right)^2\right] d\xi_B$$

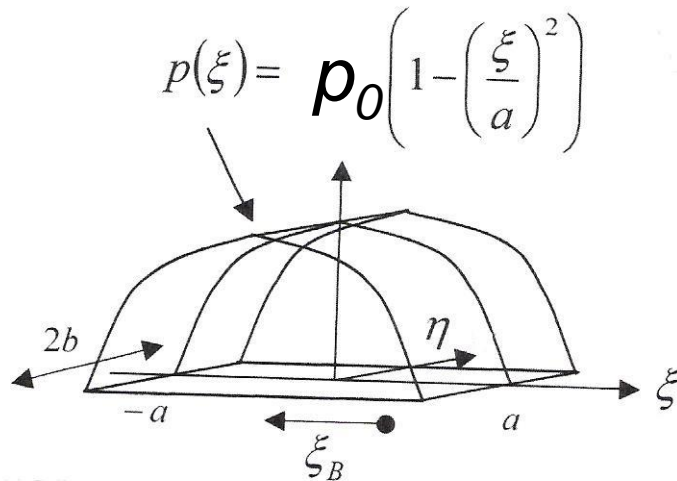
$$\rightarrow p_0 = \frac{3N_\xi}{8ab}$$

Die maximal mögliche Deformation  $|e_{max}|$  einer Bürste ist wegen des Verlaufs in Längsrichtung eine  $\xi$  Funktion von  $\xi_B$  bzw.

$$e_{max} = \frac{\mu_h p(\xi)}{c_B}$$

# Bürstenmodell (Brush Tire Model)

Normalkraftverteilung:



bzw. mit:  $\xi = a - \xi_B$

$$e_{\max} = \frac{\xi_B (2a - \xi_B)}{2a \Theta_H}$$

wobei:

$$\Theta_H = \frac{4a^2 b c_B}{3\mu_H N_\xi}$$

Ein Zylinder beginnt zu Gleiten, wenn:

$$\sqrt{e_\xi^2 + e_\eta^2} = e_{\max}$$

bzw.

$$\sqrt{s_\xi^2 + s_\eta^2} \xi_B = e_{\max}$$

# Bürstenmodell (Brush Tire Model)

Mit dem Gesamtschlupf  $s$

$$s \stackrel{\text{def}}{=} \sqrt{s_{\xi}^2 + s_{\eta}^2}$$

folgt für den Losbrechpunkt  
(aus Gl.  $e_{\max}$ ):

$$\xi_s = 2a(1 - \Theta_H s)$$

Es ergeben sich unterschiedliche  
Ausdrücke für das Haft- und  
Gleitgebiet:

$$\tau_{\xi}(\xi_B) = \begin{cases} -c_B s_{\xi} \xi_B \\ -c_B s_{\xi} \xi_s \end{cases}$$

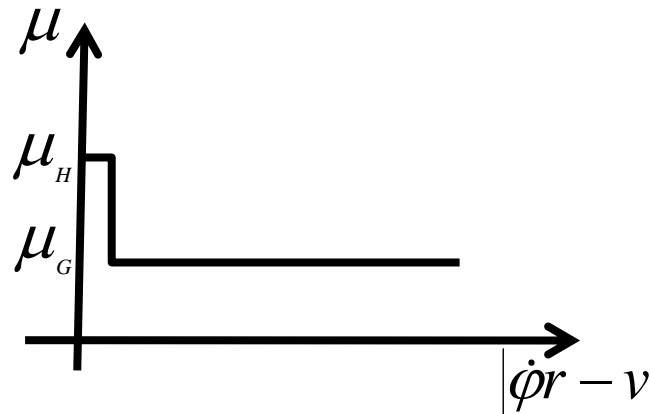
und

$$\tau_{\eta}(\xi_B) = \begin{cases} -c_B s_{\eta} \xi_B \\ -c_B s_{\eta} \xi_s \end{cases}$$

jeweils bis/ab dem Losbrechpunkt.  
Je mehr der Losbrechpunkt nun in  
Richtung Eintrittsbeginn einer Bürste  
In den Latsch liegt, desto größer wird  
der Anteil an Bürsten, die in Gleiten  
übergehen. Dadurch verläuft die  
Reifenkraft degressiv.

# Bürstenmodell (Brush Tire Model)

Haftwerte:



Für den Fall, dass:

$$\mu_H \neq \mu_G$$

ergibt sich mit  $\Theta_G$  statt  $\Theta_H$

$$\Theta_G = \frac{4a^2 bc_B}{3\mu_G N_\xi}$$

Die resultierenden Kraftgleichungen ergeben:

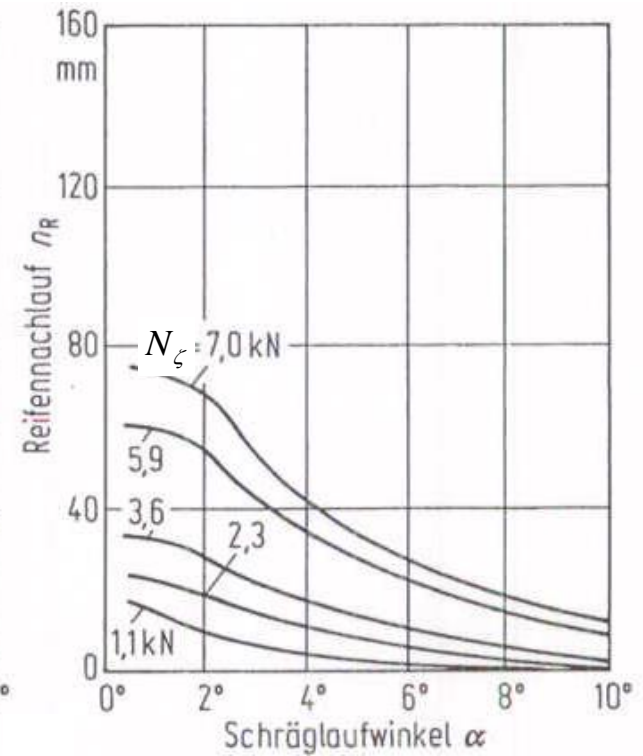
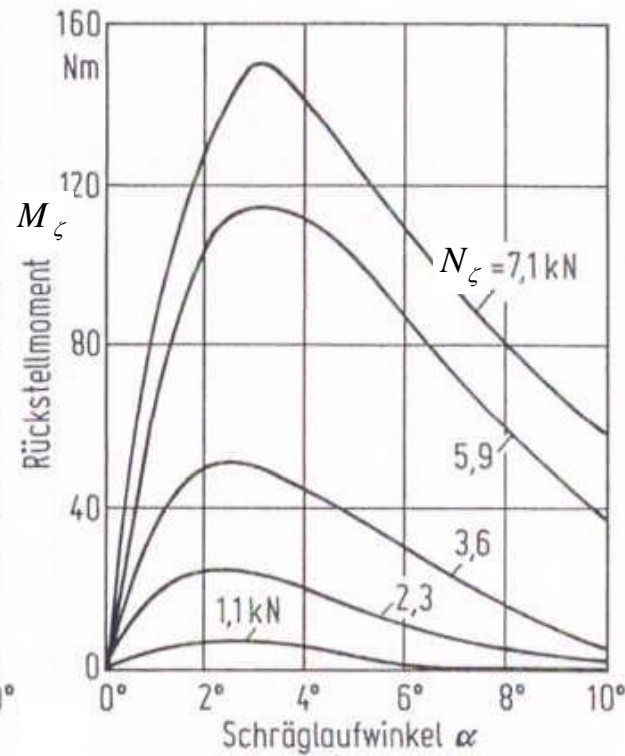
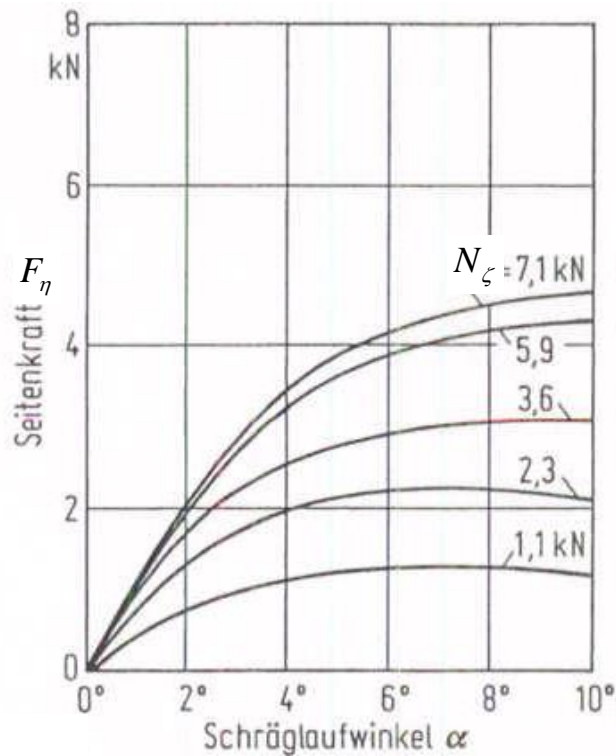
$$F_\xi = -2bc_B \left[ \int_0^{\xi_s} s_\xi \xi_B d\xi_B + \int_{\xi_s}^{2a} s_\xi \xi_B d\xi_B \right]$$

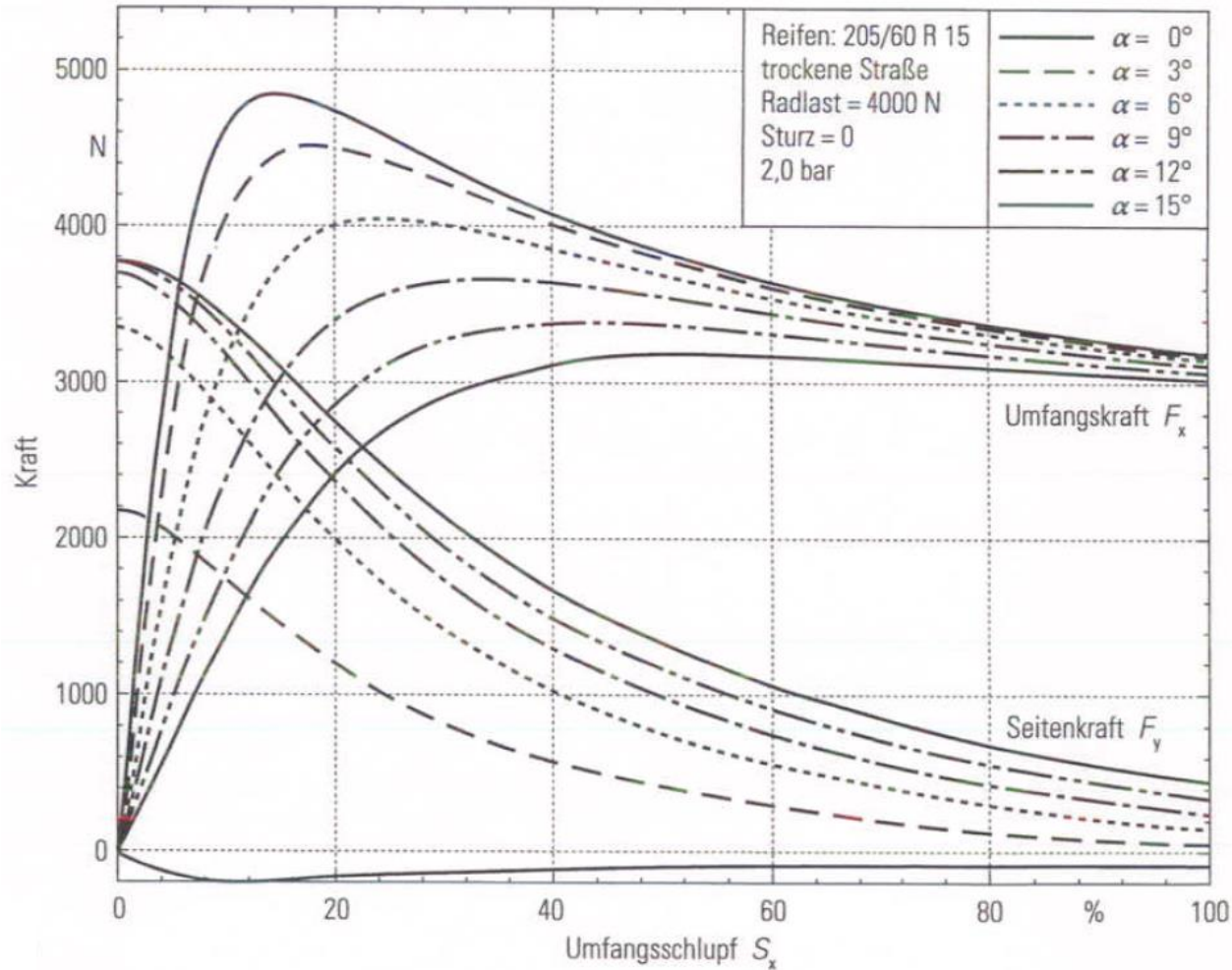
$$F_\eta = -2bc_B \left[ \int_0^{\xi_s} s_\eta \xi_B d\xi_B + \int_{\xi_s}^{2a} s_\eta \xi_B d\xi_B \right]$$

Das Bohrmoment ergibt sich zu:

$$\begin{aligned} M_\xi &= -2bc_B \int_0^{\xi_s} s_\eta (a - \xi_B) \xi_B d\xi_B + \int_{\xi_s}^{2a} s_\eta (a - \xi_B) \xi_B d\xi_B \\ &= n_R(s) F_\eta \end{aligned}$$

mit dem sog. Riefennachlauf  $n_R(s)$







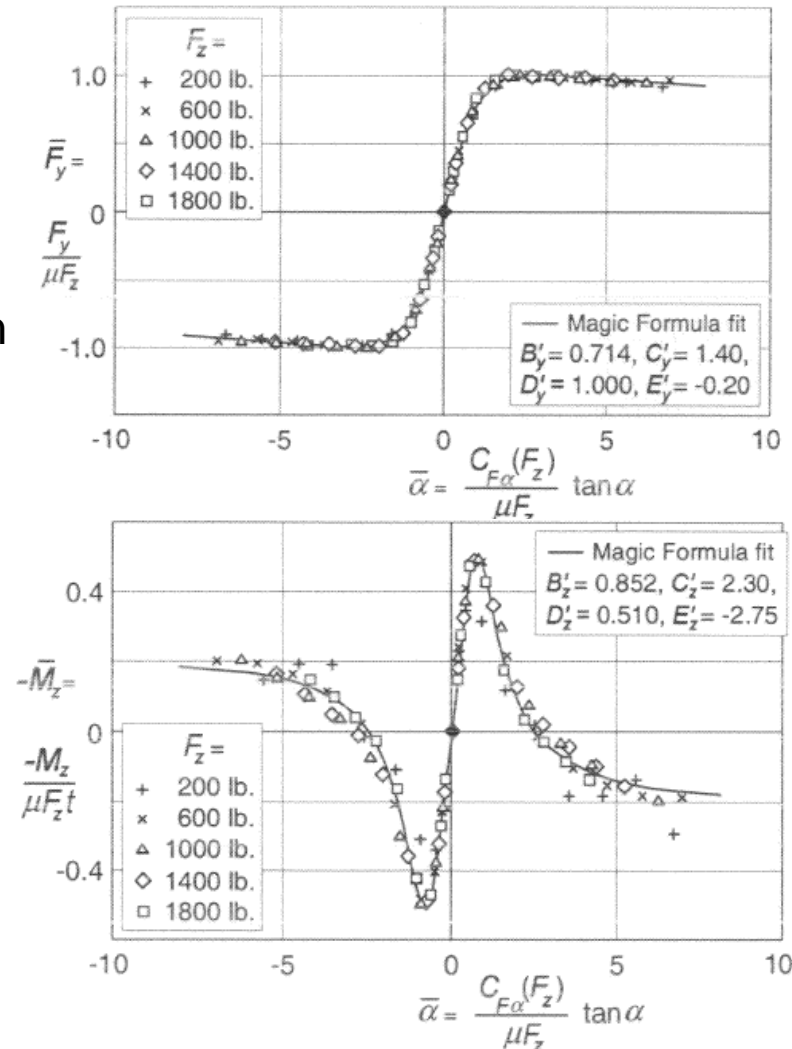
# Vereinfachte Pacejka Magic Tire Formular

- Nichtlineare Approximation der Reifeneigenschaften
- Reifenmodell bildet die Kraftschluss-Schlupf-Beziehung analytisch ab, z.B. durch

$$Y = F_{\max} \cdot \sin\left(C \arctan\left(B \cdot \frac{s}{\mu}\right)\right)$$

- Mit Hilfe der Optimierungsrechnung werden die freien Parameter so bestimmt, dass es zur optimalen Übereinstimmung der Messkurven und der Modellkurve kommt

**Nachteil: viele Messungen für verschiedene Betriebsbereiche notwendig**



# Vereinfachte Pacejka Magic Tire Formular

Die einzelnen Parameter bedeuten:

➤ Kraftschlusspotential:

$$F_{\max} = \mu N_{\zeta} \cdot \left(1 + k_{F\zeta} \frac{N_{\zeta 0} - N_{\zeta}}{N_{\zeta 0}}\right) = D$$

➤ Parameterbedeutung:

$Y$  ...Quer- oder Längskraft, Bohrmoment

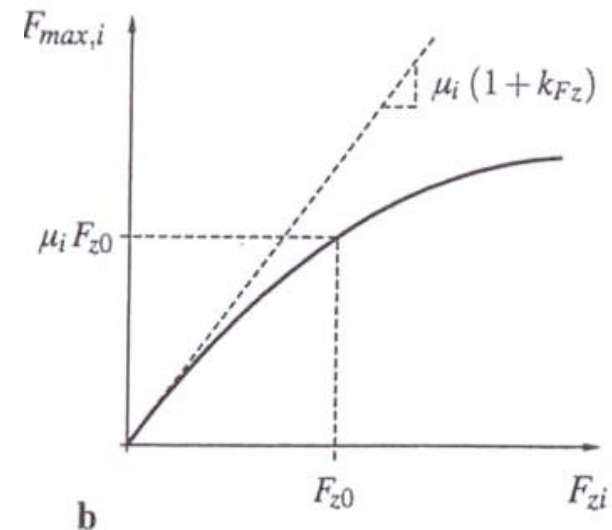
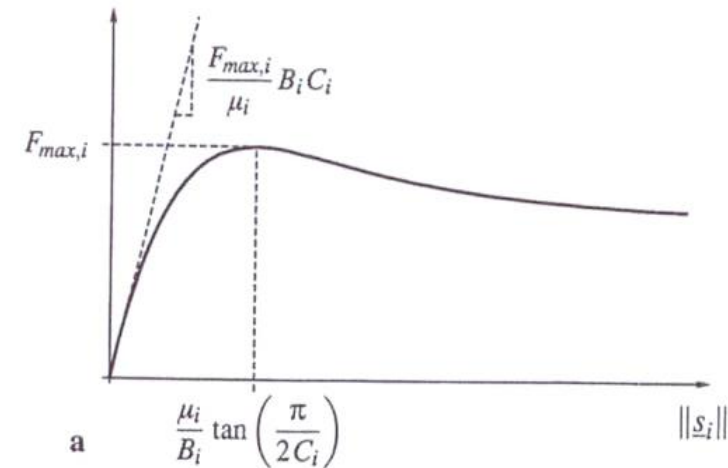
$C$  ...Wertebereich (1;2)

$B$  ...Wertebereich  $> 0$

$\mu$  ...Haftbeiwert  $> 0$

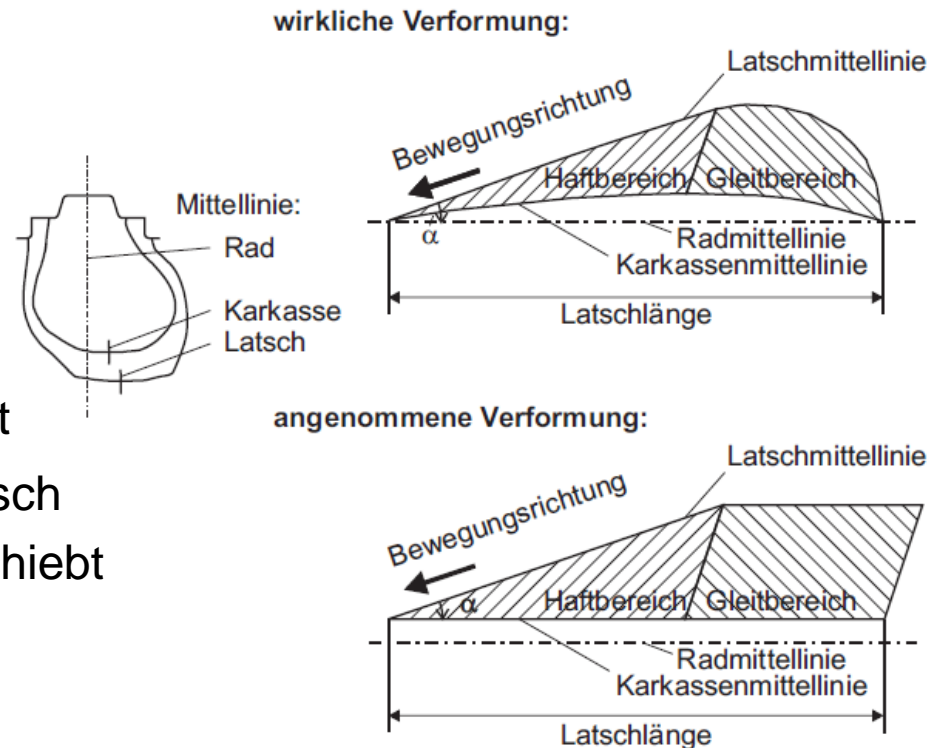
$k_{F\zeta}$  ...Degressivitätsfaktor  $\geq 0$

$N_{\zeta 0}$ ...Nominale Radlast  $> 0$



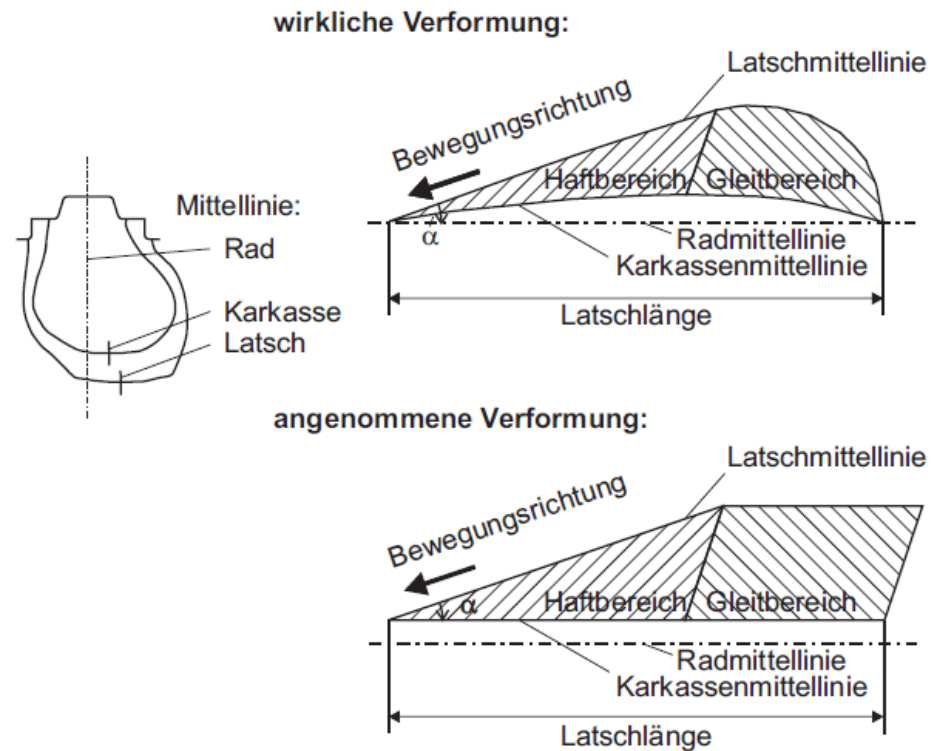
# HSRI Reifenmodell

- HSRI = Highway Safety Research Institute der Universität in Michigan
- Modell berechnet die Reifenkräfte aufgrund der Verformungen durch im Reifen auftretende Spannungen
- Eingangsgrößen: Schräglaufwinkel, Radlast, Raddrehzahl, Fahrzeuggeschwindigkeit
- Reifensturz wird nicht berücksichtigt
- Konstante Flächenpressung im Latsch
- Mittellinie der Reifenkarkasse verschiebt sich durch die Seitenkraft parallel gegenüber der Radmittenebene
- physikalisches Modell



# HSRI Reifenmodell

- Es wird die Auslenkung der Protektorteilchen von der Karkassenmittellinie betrachtet
- linearer Schubspannungsverlauf bis zur Kraftschlussgrenze
- Anzahl der benötigten Parameter ist relativ gering



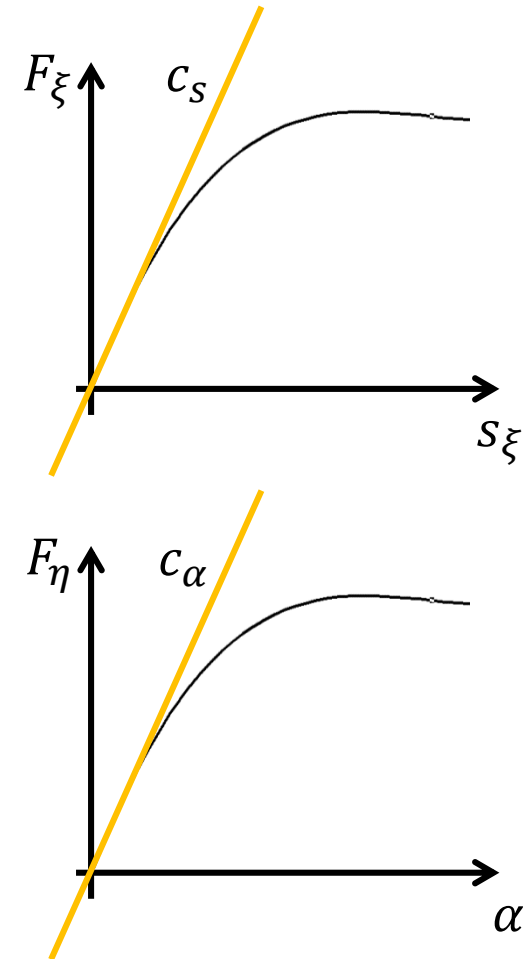
# HSRI - Mathematische Modellierung

- Längsschlupfsteifigkeit  $c_s$  als Anstieg der Längskraft-Schlupf-Kurve im Ursprung

$$c_s = \left. \frac{\partial F_\xi}{\partial s_\xi} \right|_{\substack{s \rightarrow 0 \\ \alpha = 0}}$$

- Seitenschlupfsteifigkeit  $c_\alpha$  als Anstieg der Seitenkraft-Schräglaufwinkel-Kurve im Ursprung

$$c_\alpha = \left. \frac{\partial F_\eta}{\partial \alpha} \right|_{\substack{\alpha \rightarrow 0 \\ s = 0}}$$



- Die Definition des Antriebs- und Bremsschlupfs kann wie folgt zusammengefasst werden:

$$s_i = \frac{|v - r_{dyn} \cdot \omega|}{\max(v, r_{dyn} \cdot \omega)}$$

- Die Gleitgeschwindigkeit ergibt sich aus:

$$v_G = v_{G,\xi} \sqrt{s_i^2 + \tan^2 \alpha}$$

- Mit der Gleitgeschwindigkeit in Latschlängsrichtung  $v_{G,\xi}$  :

$$v_{G,\xi} = v - r_{dyn} \cdot \omega$$

- Die Gleitgeschwindigkeit wird genutzt, um den Haftreibungswert zu berechnen:

$$v_G < 80 \text{ km/h:} \quad \mu_i = f_{0,i} (1 - k_R v_G)$$

$$v_G \geq 80 \text{ km/h:} \quad \mu_i = f_{0,i} (1 - k_R \tanh(v_G)^2)$$

- Mit den Parametern  $f_0$  und  $k_R$  welche die Kraftschlussabnahme bei zunehmender Geschwindigkeit beschreiben:

$$f_0 = f_{0,1} + f_{0,2} N_\zeta \quad k_R = k_{R,1} + k_{R,2} N_\zeta$$

- Die Funktion  $\bar{s}_R$  dient zur Bestimmung der Haftbereiche (Gleiten, Haften):

$$\bar{s}_R = \frac{\sqrt{(c_s s_i)^2 + (c_\alpha \tan(\alpha))^2}}{\mu_i N_\zeta (1 - s_i)}$$

- Kombiniert man diese Gleichungen ergeben sich die Reifenkräfte zu:

$\bar{s}_R \leq 0,5:$   
**(Haftbereich,  
linear)**

$$F_{\xi} = c_s s_i$$
$$F_{\eta} = c_{\alpha} \tan(\alpha)$$

$\bar{s}_R > 0,5:$   
**(Gleitbereich,  
nichtlinear)**

$$F_{\xi} = c_s \left( \frac{s_i}{1 - s_i} \right) \left( \frac{\bar{s}_R - 0,25}{\bar{s}_R^2} \right)$$
$$F_{\eta} = c_{\alpha} \left( \frac{\tan(\alpha)}{1 - s_i} \right) \left( \frac{\bar{s}_R - 0,25}{\bar{s}_R^2} \right)$$



- Zur Berechnung des Rückstellmoments wird der Reifennachlauf in Längs-  $n_\xi$  und Seitenrichtung  $n_\eta$  benötigt. Für  $n_\xi$  gilt:

$\bar{s}_R \leq 0,5$ :  
**(Haftbereich,  
linear)**

$$n_\xi = \frac{4}{3} l \tan(\alpha) + \frac{F_\eta}{c_\alpha}$$

$\bar{s}_R > 0,5$ :  
**(Gleitbereich,  
nichtlinear)**

$$n_\xi = l \tan(\alpha) \left( \frac{\bar{s}_R - \frac{1}{3}}{\bar{s}_R \left( \bar{s}_R - \frac{1}{4} \right)} + \frac{F_\eta}{c_\alpha} \right)$$

- Mit der halben Latschlänge  $l$  und der Reifensubtangente  $s_1$ :

$$l = \sqrt{2 r_{dyn} s_1}$$

- Für den Reifennachlauf in Seitenrichtung  $n_\eta$  erhält man:

$\bar{s}_R \leq 0,5$ :  
**(Haftbereich,  
linear)**

$$n_\eta = \frac{1}{3} l \left[ 1 + 2\bar{s}_R \left( \frac{1}{2} - \bar{s}_R \right) \right]$$

$\bar{s}_R > 0,5$ :  
**(Gleitbereich,  
nichtlinear)**

$$n_\eta = l \left( \frac{12 - \frac{1}{\bar{s}_R^2}}{12 - \frac{3}{\bar{s}_R}} - 1 \right) \left( \frac{1 - (\bar{s}_R - 0,5)}{k_{Kor}} \right) \quad k_{Kor}: \text{Korrekturwert}$$

- Über das Momentengleichgewicht ergibt sich damit das Rückstellmoment zu:

$$M_{\zeta} = F_{\eta} n_{\eta} - F_{\xi} n_{\xi}$$

Vielen Dank für Ihre Aufmerksamkeit!